

JURNAL

# TEKNIK & ILMU KOMPUTER

IKHWANNUL KHOLIS,  
SYAH ALAM

YOGA ISTIONO, JULIUS SENTOSA,  
EMMY HOSEA

ANTUSIAS CHRISTOPHER,  
HENDRI WIJAYA, WHERYN TANDI,  
ELLY KUSUMAWATI BUDIRAHARDJO

EVAN WIJAYA, JERRY JEREMIA DARREN,  
DAVID ANTONIUS, RACHMANSYAH

JASON KARTOLO,  
ADITYA SANJAYA PUTRA,  
DEVYANTI YOSUANITA,  
ENMA MEDIAWATI SEBAYANG

RONALD SUKWADI,  
M.M. WAHYUNI INDERAWATI,  
DENNY WONG

AGNI ISADOR HARSAPRANATA

DAYA HANDIKA,  
ANDEKA ROCKY TANAAMAH,  
MICHAEL BEZALEEL WENAS

CYNTHIA HAYAT

GUN GUN GUMILAR,  
DIAN KURNIASARI CITRA DEWI,  
HOGA SARAGIH

**SISTEM PENGENALAN WAJAH DENGAN MENGGUNAKAN  
BACKPROPAGATION ARTIFICIAL NEURAL NETWORK DAN  
PRINCIPAL COMPONENT ANALYSIS**

**ANALISIS HARMONISA AKIBAT PENGGUNAAN LAMPU LED**

**PENGARUH TEPUNG KANJI SEBAGAI ZAT ADITIF TERHADAP  
NILAI STABILITAS DAN NILAI KELELEHAN PADA CAMPURAN  
ASPAL**

**STUDI EKSPERIMENTAL PENGARUH PENAMBAHAN ZAT  
ADITIF LATEKS PADA BETON ASPAL TERHADAP STABILITAS**

**PENGARUH PENAMBAHAN DEMPUL EPOXY PADA CAMPURAN  
BETON ASPAL**

**INTEGRASI BALANCED SCORECARD KE DALAM MANAJEMEN  
KINERJA PENJUALAN PERUSAHAAN DAGANG**

**ANALISIS INTRUSION DETECTION SYSTEM DI INTERNAL JARINGAN  
WAN MENGGUNAKAN DATA MINING: STUDI KASUS PADA ASTRIDO  
GROUP JAKARTA**

**WEB-BASED KNOWLEDGE MANAGEMENT SYSTEM KEBUDAYAAN  
JAWA DI KERATON SURAKARTA HADININGRAT**

**IDENTIFIKASI DINI PENYAKIT DIABETES MELITUS MENGGUNAKAN  
EXPERT SYSTEM BUILDER**

**ANALISIS PENGARUH CONTENT, BENTUK, DAN MEDIA KOMUNIKASI  
TERHADAP KESUKSESAN PROYEK IMPLEMENTASI ENTERPRISE  
RESOURCE PLANNING (ERP) DI BANK ABC**

JURNAL

# TEKNIK & ILMU KOMPUTER

Vol. 05 No. 20

ISSN 2089-3647

---

## SUSUNAN REDAKSI JURNAL TEKNIK & ILMU KOMPUTER

**Pemimpin Redaksi**  
Eddy Wiyanto

**Mitra Bestari**  
Hartono Siswono  
Takim Andriono  
Made Suangga  
Oki Setyandito  
Ni Made Sudri  
Susany Soplant  
Lukas Siswanto Tanutama  
Hudiarto  
Gloria Virginia  
Sri Suwarno  
Mewati Ayub  
Hapnes Toba  
Iwan Setyawan  
Gunawan Dewantoro  
Banu Wirawan Yohanes

**Dewan Redaksi**  
Budi Harsono  
Amelia Makmur  
Iwan Aang Soenandi  
Edy Kristianto  
Endi Putro  
Arta Moro Sundjaja  
Tri Pudjadi

*English Editor*  
Silvia Mayasari-Hoffert

**Staf Produksi**  
Livia Christy

**Staf Sekretariat**  
Kusmiyati

### Alamat Redaksi

Fakultas Teknik dan Ilmu Komputer Universitas Kristen Krida Wacana  
Jl. Tanjung Duren Raya No. 4 Jakarta Barat – 11470  
Telp. (021) 5666952-55 Fax. (021) 5666956  
E-mail: [jtik@ukrida.ac.id](mailto:jtik@ukrida.ac.id)

**DAFTAR ISI**

|  |     |
|--|-----|
| SISTEM PENGENALAN WAJAH DENGAN MENGGUNAKAN<br><i>BACKPROPAGATION ARTIFICIAL NEURAL NETWORK DAN</i><br><i>PRINCIPAL COMPONENT ANALYSIS</i>  | 343 |
| <i>FACE RECOGNITION SYSTEM USING BACKPROPAGATION ARTIFICIAL<br/>NEURAL NETWORK AND PRINCIPAL COMPONENT ANALYSIS</i><br>(Ikhwannul Kholis, Syah Alam)   |     |
| ANALISIS HARMONISA AKIBAT PENGGUNAAN LAMPU LED<br><i>HARMONICS ANALYSIS ON THE USE OF LED LAMP</i><br>(Yoga Istiono, Julius Sentosa, Emmy Hosea)   | 355 |
| PENGARUH TEPUNG KANJI SEBAGAI ZAT ADITIF TERHADAP<br>NILAI STABILITAS DAN NILAI KELELEHAN PADA CAMPURAN ASPAL<br><i>EFFECTS OF TAPIOCA AS ADDITIVE MATERIAL ON THE<br/>VALUE OF STABILITY AND FATIGUE IN MIXED ASPHALT</i><br>(Antusias Christopher, Hendri, Wheryn Tandi, Elly Kusumawati Budirahardjo) | 363 |
| STUDI EKSPERIMENTAL PENGARUH PENAMBAHAN ZAT<br>ADITIF LATEKS PADA BETON ASPAL TERHADAP STABILITAS<br><i>EXPERIMENTAL STUDY OF THE INFLUENCE OF THE<br/>ADDITION LATEX IN ASPHALT CONCRETE OVER STABILITY</i><br>(Evan Wijaya, Jerry Jeremia Darren, David Antonius, Rachmansyah)                         | 375 |
| PENGARUH PENAMBAHAN DEMPUL EPOXY PADA<br>CAMPURAN BETON ASPAL<br><i>EFFECT OF EPOXY PUTTY IN MIXED ASPHALT CONCRETE</i><br>(Jason Kartolo, Aditya Sanjaya Putra, Deviyanti Yosuanita, Enma Mediawati Sebayang)   | 385 |

INTEGRASI BALANCED SCORECARD KE DALAM  
MANAJEMEN KINERJA PENJUALAN PERUSAHAAN DAGANG

393

*INTEGRATING THE BALANCED SCORECARD INTO SALES  
PERFORMANCE MANAGEMENT OF TRADING COMPANY*  
(Ronald Sukwadi, MM. Wahyuni Inderawati, Denny Wong)

ANALISIS INTRUSION DETECTION SYSTEM DI  
INTERNAL JARINGAN WAN MENGGUNAKAN DATA MINING:  
STUDI KASUS PADA ASTRIDO GROUP JAKARTA

403

*INTRUSION DETECTION SYSTEM ANALYSIS IN  
INTERNAL WAN NETWORK USING DATA MINING:  
A CASE STUDY IN JAKARTA ASTRIDO GROUP*  
(Agni Isador Harsapranata)

WEB-BASED KNOWLEDGE MANAGEMENT SYSTEM  
KEBUDAYAAN JAWA DI KERATON SURAKARTA HADININGRAT

415

*WEB-BASED KNOWLEDGE MANAGEMENT SYSTEM  
OF JAVANESE CULTURE IN THE PALACE OF SURAKARTA HADININGRAT*  
(Daya Handika, Andeka Rocky Tanaamah, Michael Bezaleel Wenas)

IDENTIFIKASI DINI PENYAKIT DIABETES MELLITUS  
MENGGUNAKAN EXPERT SYSTEM BUILDER

431

*EARLY IDENTIFICATION OF DIABETES MELLITUS DISEASE  
USING EXPERT SYSTEM BUILDER*  
(Cynthia Hayat)

ANALISIS PENGARUH CONTENT, BENTUK, DAN MEDIA KOMUNIKASI  
TERHADAP KESUKSESAN PROYEK IMPLEMENTASI  
ENTERPRISE RESOURCE PLANNING (ERP) DI BANK ABC

447

*EFFECT OF CONTENT, FORM, AND MEDIA OF COMMUNICATION  
ANALYSIS ON THE SUCCESS OF ENTERPRISE RESOURCE PLANNING (ERP)  
PROJECT IMPLEMENTATION IN BANK ABC*  
(Gun Gun Gumilar, Dian Kurniasari Citra Dewi, Hoga Saragih)

## ANALISIS HARMONISA AKIBAT PENGGUNAAN LAMPU LED

### HARMONICS ANALYSIS ON THE USE OF LED LAMP

Yoga Istiono<sup>1</sup>, Julius Sentosa<sup>2</sup>, Emmy Hosea<sup>3</sup>

Program Studi Teknik Elektro, Universitas Kristen Petra  
Jalan Siwalankerto 121-131, Surabaya 60236, Indonesia

<sup>1</sup>yogaistiono26@gmail.com, <sup>2</sup>julius@petra.ac.id, <sup>3</sup>emmyho@petra.ac.id

#### Abstrak

Masalah harmonisa dalam sistem tenaga listrik semakin kompleks dengan bertambahnya penggunaan peralatan non linier (misal: lampu LED), dimana peralatan ini menghasilkan harmonisa pada gelombang tegangan dan arus. Pada penelitian ini dilakukan pengukuran harmonisa dengan menggunakan alat ukur *Power Analyzer* Fluke 41B. Pengukuran diambil dari beberapa macam merk LED dengan daya listrik yang berbeda-beda. Pengujian dan pengukuran juga dilakukan dengan menggunakan alat peraga instalasi rumah tinggal. Hasil pengukuran menunjukkan bahwa harmonisa yang ditimbulkan oleh lampu LED tidak sesuai dengan standar harmonisa yang berlaku, yakni  $I_{THD}$  melebihi 20%. Dengan menambahkan *filter pasif*, harmonisa yang ditimbulkan oleh lampu LED dapat diredam dan meningkatkan nilai *power factor*.

**Kata Kunci:** lampu LED, harmonisa, *filter pasif*

#### Abstract

*Harmonics Problems in the power system are becoming more complex with the increasing use of non-linear devices, such as LED lights, in which the equipment produces harmonics in voltage and current waves. In this study, harmonic is measured using Fluke 41B Power Analyzer. Measurements were taken on different kinds of LED brands with different electric power. Tests and measurements were also performed using residential installation props. The results show that the harmonics generated by LED lamp does not comply with the applicable harmonics standards, i.e. with  $I_{THD}$  exceeding by 20%. By adding a passive filter, the harmonics generated by the LED light can be suppressed, which in turn will improve the power factor value.*

**Keywords:** LED lights, harmonics, passive filter

Tanggal Terima Naskah : 22 Januari 2016  
Tanggal Persetujuan Naskah : 19 Mei 2016

## 1. PENDAHULUAN

Masalah harmonisa dalam sistem tenaga listrik saat ini semakin meningkat dengan bertambahnya penggunaan peralatan non linier, dimana peralatan ini menghasilkan harmonisa pada gelombang tegangan dan arus. Peralatan yang mempunyai karakteristik non linier, antara lain *Thyristor*, dioda silikon, *Uninterruptible Power*

Supplies (UPS), Lampu TL (*Tube Luminescent*) dengan *ballast electric*, Lampu LED (*Light Emitting Diodes*).

Harmonia mengganggu *supply* listrik yang mengakibatkan sinyal gelombang sinusoidal murni menjadi bentuk sinyal gelombang sinusoidal tidak murni atau tidak sempurna. Gelombang ini mengakibatkan kerugian, antara lain mesin-mesin listrik menjadi panas, *losses* pada kabel, dan menyebabkan kerusakan pada sistem tenaga listrik.

Menurut IEEE Std. 519 1992 batas tegangan THD yang diizinkan adalah kurang dari 3 % dan untuk arus THD yang diizinkan adalah kurang dari 20 %.

## 2. KONSEP DASAR

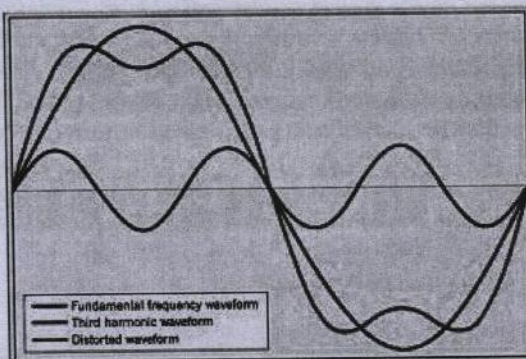
Berikut ini merupakan konsep-konsep yang berhubungan dengan analisis yang dilakukan dalam penelitian ini.

### a. Lampu LED

Lampu LED merupakan rangkaian semikonduktor yang memancarkan cahaya ketika dialiri listrik. Sifatnya berbeda dengan filamen yang harus dipijarkan (dibakar) atau lampu TL yang merupakan pijaran partikel. Lampu LED memancarkan cahaya melalui aliran listrik yang relatif tidak menghasilkan banyak panas. Karena itu lampu LED terasa dingin saat dipakai karena tidak menambah panas ruangan seperti lampu pijar. Lampu LED juga memiliki warna sinar yang beragam, yaitu putih, kuning, dan warna-warna lainnya.

### b. Harmonia

Bentuk gelombang tegangan dan gelombang arus dalam sistem tenaga listrik AC (listrik bolak – balik) yang ideal digambarkan sebagai gelombang sinusoidal murni. Harmonia adalah gangguan yang terjadi pada sistem distribusi tenaga listrik akibat terjadinya distorsi gelombang tegangan dan arus. Pada dasarnya harmonia adalah gejala pembentukan gelombang-gelombang dengan frekuensi yang berbeda dan disebut sebagai frekuensi harmonik. Frekuensi sistem tenaga listrik di Indonesia adalah 50 Hz.



Gambar 1. Bentuk gelombang [1]

Dalam sistem tenaga listrik, harmonia dapat diartikan sebagai sebuah komponen sinosiodal dari gelombang periodik yang memiliki frekuensi kelipatan dari frekuensi dasar. Frekuensi dasar sering disebut dengan  $f_0$ , dan kelipatan dari frekuensi ke-h adalah  $hf_0$ . Harmonia sering digunakan untuk menggambarkan distorsi jumlah gelombang sinus dangan tegangan dan arus dari amplitudo dan frekuensi yang berbeda [2].

### c. Total Harmonic Distortion (THD)

THD adalah rasio nilai rms dari komponen harmonia ke nilai rms dari komponen dasar dan dinyatakan dalam persen. THD digunakan untuk mengukur deviasi dari bentuk gelombang periodik yang mengandung harmonia dari gelombang sinus

sempurna. Gelombang sinus sempurna memiliki nilai THD 0 %. Berikut adalah rumus THD untuk tegangan dan arus [3].

d. *Filter Harmonica*

*Filter* harmonisa adalah peralatan listrik yang digunakan untuk mengurangi amplitudo frekuensi tertentu dari sebuah tegangan atau arus. Penambahan *filter* harmonisa pada sistem tenaga listrik yang memiliki sumber-sumber harmonisa akan mengurangi penyebaran harmonisa dalam sistem tenaga listrik. *Filter* harmonisa juga dapat mengkompensasi daya reaktif dan digunakan untuk memperbaiki faktor daya dalam sistem tenaga listrik [4]. *Filter* harmonisa dipasang secara paralel dengan peralatan yang merupakan beban non linier dan sumber harmonisa. Komponen yang terdapat di *filter* pasif adalah kapasitor, induktor, dan resistor. Secara umum *filter* pasif harmonik dapat dibedakan menjadi tiga jenis:

1. Single tuned filter
  2. Double tuned filter
  3. High pass filter

Daya reaktif kompensasi dapat dihitung dengan menggunakan persamaan [5]:

$$Qc = P (\tan \phi_1 - \tan \phi_2) \dots \quad (3)$$

**dimana:**

**Qc** : Daya reaktif (VAR)

P : Daya Nyata (W)

Tan  $\emptyset_1$  : Sudut daya mula-mula

Selanjutnya dapat dihitung nilai komponen R, L, dan C yang digunakan sebagai filter.

$$\text{Jadi persamaan sebagai berikut [5]:} \quad (4)$$

17

dimana:  $f_1 = f - 1$ ,  $f_2 = f + 1$ ,  $f_3 = f + 1650 \text{ Hz}$

**f** : frekuensi fundamental  
**V** : volume

Nilai induktansi dihitung dengan parameter schematic il-1 [5].

$$L = \frac{1}{\sqrt{\omega_0^2 - \omega^2}} \quad \dots \dots \dots \quad (5)$$

#### **dimensions:**

f : frekuensi yang ingin direduksi

Untuk nilai resistansi diberikan dengan persamaan sebagai berikut [5]:

dimana:

f : frekuensi yang ingin direduksi

### 3. HASIL DAN PEMBAHASAN

Berikut ini merupakan hasil pengukuran lampu LED.

Tabel 1. Hasil pengukuran lampu LED

| Jenis Lampu |   | Hasil Pengukuran |        |       |      |      |           |       | Standard THD (%) |       |
|-------------|---|------------------|--------|-------|------|------|-----------|-------|------------------|-------|
|             |   | Daya (W)         | V RMS  | I RMS | PF   | DPF  | THD RMS % |       | V THD            | I THD |
| LED 3W      | X | 2.00             | 220.1  | 0.06  | 0.17 | 0.21 | 1.55      | 45.42 | 5                | 20    |
|             | Y | 3.00             | 220.8  | 0.04  | 0.47 | 1.00 | 1.89      | 85.09 | 5                | 20    |
| LED 7W      | X | 5.00             | 220.8  | 0.04  | 0.53 | 0.67 | 1.80      | 57.65 | 5                | 20    |
|             | Y | 6.00             | 220.3  | 0.06  | 0.48 | 1.00 | 1.81      | 84.55 | 5                | 20    |
| LED 9W      | X | 7.00             | 219.3  | 0.07  | 0.50 | 0.97 | 1.87      | 83.06 | 5                | 20    |
|             | Y | 8.00             | 219.8  | 0.08  | 0.47 | 0.98 | 1.92      | 86.04 | 5                | 20    |
| LED 14W     | X | 13.00            | 219.2  | 0.11  | 0.54 | 0.97 | 1.95      | 81.31 | 5                | 20    |
|             | Z | 12.28            | 220.06 | 0.07  | 0.80 | 0.93 | 1.48      | 30.18 | 5                | 20    |

Dari Tabel 1 terlihat bahwa lampu LED merk Z lebih bagus karena lampu LED merk Z memiliki lumen yang besar sehingga lampu lebih terang dan konsumsi arusnya relatif kecil. Selain itu, *power factor* yang ditimbulkan oleh lampu LED merk Z paling tinggi dan  $I_{THD}$  yang ditimbulkan kecil dibandingkan lampu yang lain.

Tabel 2. Hasil pengukuran lampu LED - CFL

| Jenis Lampu |              |          | Hasil Pengukuran |       |       |      |      |           |       | Standard THD (%) |       |
|-------------|--------------|----------|------------------|-------|-------|------|------|-----------|-------|------------------|-------|
| % LED       | Jumlah Lampu |          | Daya (kW)        | V RMS | I RMS | PF   | DPF  | THD RMS % |       | V THD            | I THD |
|             | LHE 14 W     | LED 14 W |                  |       |       |      |      | V         | I     |                  |       |
| 0%          | 20           | 0        | 0.31             | 234.1 | 2.02  | 0.65 | 0.92 | 1.46      | 69.90 | 5                | 20    |
| 20%         | 16           | 4        | 0.30             | 233.0 | 1.91  | 0.68 | 0.93 | 1.48      | 67.34 | 5                | 20    |
| 40%         | 12           | 8        | 0.30             | 232.9 | 1.84  | 0.71 | 0.94 | 1.55      | 65.65 | 5                | 20    |
| 60%         | 8            | 12       | 0.29             | 232.6 | 1.84  | 0.68 | 0.95 | 1.44      | 69.43 | 5                | 20    |
| 80%         | 4            | 16       | 0.29             | 232.7 | 1.92  | 0.64 | 0.95 | 1.44      | 73.21 | 5                | 20    |
| 100%        | 0            | 20       | 0.28             | 232.0 | 2.06  | 0.59 | 0.97 | 1.40      | 78.58 | 5                | 20    |

Dari Tabel 2 terlihat bahwa lampu 40% LED lebih bagus karena 40% LED konsumsi arusnya relatif kecil. Selain itu, *power factor* yang ditimbulkan oleh 40% LED paling tinggi dan  $I_{THD}$  yang ditimbulkan kecil dibandingkan lampu yang lain.

Perencanaan *filter* pasif menggunakan data lampu LED 100% - CFL 0% (Tabel 2), yaitu untuk meredam harmonisa orde 3 dan 5. Berikut adalah data perhitungan perancangan *filter* pasif:

**θ1 : 53,84° Lead**

PF yang di inginkan : 0.98 Lag → θ2 : 11.47° Lag

Penentuan Qc

$$Qc : P (\tan \theta_1 + \tan \theta_2)$$

$$Qc : 280 (\tan 53,84 + \tan 11,47)$$

$$Qc : 439,94 \text{ VAR}$$

**Penentuan C**

$$C : \frac{Qc}{2\pi f \times V^2}$$

$$C : \frac{439,94}{2\pi \times 50 \times 232,2^2}$$

$$C : 25,9 \mu F$$

**Penentuan L orde 3**

$$L : \frac{1}{(2\pi f)^2 \times C}$$

$$L : \frac{1}{(2\pi \times 150)^2 \times (2,59 \times 10^{-5})}$$

$$L : 0,04 H$$

**Penentuan R orde 3**

$$R : \frac{2}{2\pi f \times C}$$

$$R : \frac{2}{2\pi \times 150 \times (2,59 \times 10^{-5})}$$

$$R : 81,93 ohm$$

**Penentuan L orde 5**

$$L : \frac{1}{(2\pi f)^2 \times C}$$

$$L : \frac{1}{(2\pi \times 250)^2 \times (2,59 \times 10^{-5})}$$

$$L : 0,01 H$$

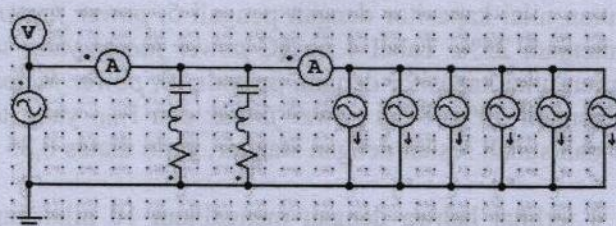
**Penentuan R orde 5**

$$R : \frac{2}{2\pi f \times C}$$

$$R : \frac{2}{2\pi \times 250 \times (2,59 \times 10^{-5})}$$

$$R : 49,15 ohm$$

Hasil pengujian *filter* pasif di PSIM menunjukkan:



Gambar 2. Rangkaian pengujian *filter* pasif di PSIM

Hasil pengujian *filter* pasif di PSIM menunjukkan bahwa *filter* pasif ini mampu menyerap energi harmonik dengan baik. Dalam pengujian ini, *filter* pasif ini berhasil menyerap energi harmonik ke-3 dengan efisiensi yang cukup baik. Hasil pengujian ini menunjukkan bahwa *filter* pasif ini mampu menyerap energi harmonik dengan baik.

Tabel 3. Hasil pengujian *filter* pasif di PSIM

| No                               | Cos Phi Awal | Cos Phi Target | Qc (Var) | I THD Fund (%) | V THD (%) |
|----------------------------------|--------------|----------------|----------|----------------|-----------|
| Kondisi sebelum di <i>filter</i> |              |                |          |                |           |
| 1                                | 0.59<br>Lead | x              | *x       | 125            | 1.4       |
| Kondisi setelah di <i>filter</i> |              |                |          |                |           |
| 2                                | 0.59<br>Lead | 0.98<br>Lag    | 439.94   | 24             | 1.4       |

Tabel 3 menunjukkan hasil pengujian *filter* pasif *single tuned* di PSIM. Pada tabel 3 no 1 menunjukkan hasil pengujian beban sebelum dipasang *filter* pasif dengan *power factor* adalah 0,59 *lead*. Tabel 3 no 2 adalah hasil pengujian *filter* pasif bila beban memiliki *power factor* 0,59 *lead* dengan target *power factor* 0,98 *lag*, terlihat bahwa setelah terpasang *filter* pasif nilai  $I_{THD}$  fundamentalnya turun dari 127 % menjadi 34 %. Nilai  $I_{THD}$  dan *power factor* setelah di-*filter* masih belum bisa memenuhi standar, yaitu untuk  $I_{THD}$  sebesar 20 % dan *power factor* sebesar 0,85.

Tabel 4. Hasil pengujian *filter* pasif dengan mengganti nilai kapasitor

| No | Orde | Nilai Filter Pasif Awal |      |       | Nilai Filter Pasif Akhir |      |       | Cos Phi Awal | Cos Phi Akhir | I THD Fund Awal (%) | I THD Fund Akhir (%) |
|----|------|-------------------------|------|-------|--------------------------|------|-------|--------------|---------------|---------------------|----------------------|
|    |      | C                       | L    | R     | C                        | L    | R     |              |               |                     |                      |
| 1A | 3    | 25.9<br>uF              | 0.04 | 81.93 | 51.8<br>uF               | 0.04 | 81.93 | 0.62         | 0.77          | 34                  | 29                   |
|    | 5    | 25.9<br>uF              | 0.01 | 49.15 | 51.8<br>uF               | 0.01 | 49.15 |              |               |                     |                      |
| 1B | 3    | 25.9<br>uF              | 0.04 | 81.93 | 129.5<br>uF              | 0.04 | 81.93 | 0.62         | 0.93          | 34                  | 25                   |
|    | 5    | 25.9<br>uF              | 0.01 | 49.15 | 129.5<br>uF              | 0.01 | 49.15 |              |               |                     |                      |
| 1C | 3    | 25.9<br>uF              | 0.04 | 81.93 | 259<br>uF                | 0.04 | 81.93 | 0.62         | 0.97          | 34                  | 20                   |

Pada Tabel 4 no 1A *power factor* yang semula 0,62 setelah dilakukan penggantian nilai kapasitor dengan pengali 2, *power factor* menjadi 0,77 dan  $I_{THD}$  fundamental menjadi 29%. Tabel 4 no 1B *power factor* yang semula 0,62 setelah dilakukan penggantian nilai kapasitor dengan pengali 5, *power factor* menjadi 0,93 dan  $I_{THD}$  fundamental menjadi 25%. Tabel 4 no 1C *power factor* yang semula 0,62 setelah dilakukan penggantian nilai kapasitor dengan pengali 10, *power factor* menjadi 0,97 dan  $I_{THD}$  fundamental menjadi 20%. Nilai *power factor* dan  $I_{THD}$  yang terbaik adalah nilai pada tabel 4 no 1C dan sudah sesuai dengan standar, yaitu diatas 0,85 (*power factor*) dan 20% ( $I_{THD}$ ).

Dari tabel 4 terlihat bahwa dengan mengalikan 10 nilai kapasitor maka telah mencapai  $I_{THD}$  dan *power factor* sesuai dengan standar.

#### 4. KESIMPULAN

Dari penelitian yang telah dilakukan, dapat diambil kesimpulan sebagai berikut:

- Secara umum, nilai  $V_{THD}$  pada semua jenis lampu LED dan CFL yang diukur masih baik; yaitu  $\pm 2\%$  dan memenuhi nilai maksimum yang diizinkan menurut IEEE-519 (5%).

- b. Semua lampu LED-CFL memiliki nilai  $I_{THD}$  lebih besar dari standar yang ditentukan, yakni 20%.
- c. Dari simulasi *filter* pasif dengan menggunakan *software* PSIM terbukti bahwa *filter* pasif dapat meredam harmonisa yang ditimbulkan dari lampu LED ataupun CFL.
- d. Penambahan *filter* pasif dan penggantian nilai kapasitor pada *filter* akan menurunkan nilai  $I_{THD}$  dan meningkatkan nilai *power factor*.

## REFERENSI

- [1]. Holt, Mike. "Harmonics - What You Should Know." [e-journal] <http://www.mikeholt.com/technical-power-quality-harmonics.php>. (Diakses 5 Juni 2015).
- [2]. "Pengaruh Harmonik pada Transformator Distribusi." Jurnal Elektro Indonesia (1999). [e-journal] <http://www.elektroindonesia.com/elektro/ener25.html>. (Diakses 31 Mei 2015).
- [3]. Hoevenaars, T., LeDoux, K., Colosino, M. (2003). Interpreting IEEE STD 519 and meeting its harmonic limits in VFD applications. Di dalam *IEEE Ind. Appl. Soc. 50th Annu. Pet. Chem. Ind. Conf. 2003. Rec. Conf. Pap.*
- [4]. I. Priyadi, "Studi Penggunaan Rangkaian Filter."
- [5]. Das, J.C. (2015). Power System Harmonics and Passive Filter Designs. Hoboken, NJ: IEEE Press.